

برآورد هم زمان پارامترهای هیدرولیکی و انتقال املاح در خاک به روش حل معکوس در مقیاس مزرعه

فریبرز عباسی و فواد تاجیک^۱

چکیده

برآورد ویژگی‌های هیدرولیکی و پارامترهای انتقال املاح به روش حل معکوس، عمدهاً به تحلیل‌های یک بعدی در آزمایشگاه و با فرض شرایط ماندگار محدود شده است. علت این امر، هزینه زیاد و دشواری‌های اندازه‌گیری، جمع آوری و توصیف تغییرات زمانی و مکانی داده‌های مزرعه‌ای می‌باشد. در این مقاله، ویژگی‌های هیدرولیکی و پارامترهای انتقال املاح از آزمایش‌های مزرعه‌ای با آبیاری جویچه‌ای در شرایط دو بعدی و غیر ماندگار برآورد شده است. سه آزمایش در جویچه‌های با انتهای بسته و زمان آبیاری مشابه با مقادیر مختلف آب و املاح نفوذ یافته ناشی از عمق آب ۶، ۱۰، و ۱۴ سانتی‌متر انجام گردیده است. دو آزمایش دیگر با مقادیر مشابه آب و املاح کاربردی و زمان آبیاری متفاوت در جویچه‌های با عمق آب ۶ و ۱۰ سانتی‌متر نیز انجام شد. هدایت آبی اشباع (K_s) و پارامترهای انتقال املاح در مدل تعادل فیزیکی جابجایی-انتشار (CDE) و مدل غیر تعادلی روان-ساکن (MIM) به روش معکوس و با استفاده از الگوریتم شبیه سازی لونبرگ-مارکوارت و نرم افزار HYDRUS-2D برآورد گردید. در حین بهینه سازی، داده‌های رطوبت خاک، نفوذ تجمیعی و غلظت املاح در تابع هدف به کار رفت. مقادیر K_s بین ۰/۰۹۹۶ - ۰/۰۳۸۹ سانتی‌متر در دقیقه با ضریب تغییرات (CV) ۴۸ درصد متغیر بوده است. مقدار رطوبت ساکن برآورد شده (θ_{im}) کم و بیش در مقدار متوسط $0/025 \text{ cm}^3/\text{cm}^3$ ثابت ماند، در حالی که ضریب تبادل مرتبه اول (۰) بین رطوبت ساکن برآورد شده (θ_{im}) تا ۱۹/۵۲ تغییر نمود. ضریب انتشار پذیری طولی (D_L) بین ۰/۰۳۲/۸ تا ۰/۰۲/۶ سانتی‌متر و ضریب انتشار پذیری عرضی (D_T) بین ۰/۰۳ تا ۰/۰۲۰ سانتی‌متر متغیر بود. مقادیر D_L تا حدی به عمق آب و زمان کاربرد آب و املاح در جویچه‌ها وابستگی برای مقادیر K_s و دیگر پارامترهای انتقال مشاهده نگردید. تطابق میان شدت نفوذ برآورد و اندازه‌گیری شده قابل قبول بوده است، در حالی که مقدار رطوبت خاک بیشتر از مقدار واقعی و غلظت املاح کمتر از مقدار واقعی برآورد گردید. تفاوت میان مقادیر برآورد شده غلظت املاح توسط مدل‌های انتقال CDE و MIM نسبتاً اندک بوده است. این نکته و هم‌چنین مقدار پارامترهای بهینه شده نشانگر آن است که داده‌های مشاهده‌ای به قدر کافی با استفاده از مدل ساده CDE قابل تخمین بوده و رطوبت ساکن نقش مهمی در فرایند انتقال ایفا نماید.

واژه‌های کلیدی: آبیاری جویچه‌ای، حل معکوس، انتقال املاح، جریان آب

۱. اعضای هیئت علمی مؤسسه تحقیقات فنی و مهندسی کشاورزی کرج

مقدمه

جريان آب و انتقال املاح در مقیاس مزرعه‌ای مناسب تر هستند. لیکن کاربرد چنین مدل‌هایی در مزرعه به دلیل نیاز به داده‌های ورودی و اندازه‌گیری‌های مزرعه‌ای زیاد و به تبع آن هزینه بر بودن آنها، محدود مانده است.

مدل HYDRUS-2D که توسط سیمیونک و همکاران (۲۸) ارائه شده است، یک مدل تحت ویندوز برای تجزیه و تحلیل جريان آب، انتقال املاح و گرما در شرایط دو بعدی بوده و قادر به برآورد ویژگی‌های هیدرولیکی خاک و یا پارامترهای انتقال املاح به روش حل معکوس می‌باشد. در این مدل برای حل عددی معادلات حاکم، از روش اجزای محدود خطی نوع گالرکین و برای بهینه سازی پارامترها از روش لونبرگ-مارکوارت (۱۹) استفاده شده است. این مدل در بسیاری از مطالعات مزرعه‌ای و آزمایشگاهی (۱۷ و ۲۹) برای بهینه سازی و برآورد ویژگی‌های هیدرولیکی خاک به روش حل معکوس مورد استفاده قرار گرفته و نتایج آن نسبتاً رضایت بخش بوده است. وانگ و همکاران (۳۵) با استفاده از این مدل تأثیر روش‌های مختلف آبیاری و تغییرات مکانی هدایت آبی اشباع را بر انتقال املاح در آبیاری جویچه‌ای مورد بررسی قرار دادند. مطالعات صورت گرفته در زمینه انتقال املاح در شرایط غیراشباع و در مقیاس مزرعه‌ای موید آن است که فرایند انتقال املاح به طور محسوسی از روش و رژیم آبیاری تأثیر می‌پذیرد (۱۵ و ۳۵). در یک بررسی جامع، عباسی و همکاران (۱) نشان داده‌اند که عمق جريان و مدت زمان آبیاری و کاربرد املاح نقش مهمی در انتقال و توزیع رطوبت و املاح در زیر جویچه‌ها دارد.

هدف اصلی این مطالعه، برآورد ویژگی‌های هیدرولیکی خاک و انتقال املاح در جویچه‌های انتهای بسته و تحت شرایط غیر ماندگار بوده است. با فرض همگن بودن خاک، قابلیت‌های مدل HYDRUS-2D برای تخمین K و پارامترهای انتقال املاح به روش حل معکوس در مدل‌های جابه‌جا‌ی - انتشار یا (Convection – Dispersion Equation) CDE محدود، (Mobile – Immobile Model) MIM یا

اگرچه پیشرفت‌های قابل توجهی در زمینه توصیف و مدل‌سازی حرکت آب و املاح تحت شرایط کنترل شده، غالباً ماندگار و در مقیاس آزمایشگاهی در چند دهه اخیر به دست آمده ولی تعداد تحلیل‌های دقیق در مقیاس مزرعه‌ای اندک بوده است. علت این امر را می‌توان عمدتاً در هزینه‌ها و نیروی کارگری مورد نیاز و هم‌چنین پیچیدگی‌های ذاتی ناشی از ناهمگنی خاک در مقیاس مزرعه‌ای دانست. به عنوان مثال، هدایت هیدرولیکی غیر اشباع خاک ممکن است حتی در فواصل کم تا چند برابر تغییر یابد (۴ و ۶) و لذا کاربرد آنها در مطالعات مزرعه‌ای دشوار است.

مدل‌های زیادی برای شبیه سازی جريان آب و انتقال املاح در محیط غیر اشباع وجود دارد. ادیسکات و واگن (۳) مروری از مدل‌های انتقال یک بعدی ارائه نموده‌اند. آنان مدل‌ها را تحت عناوین قطعی (Deterministic) یا غیر قطعی (Stochastic)، عددی یا مکانیستیک (Mechanistic) یا تابعی (Functional)، عددی یا تحلیلی و تحقیقاتی (Research) یا مدیریتی (Management) تقسیم بندی و مقایسه نموده‌اند. آنان هم‌چنین درجه پیچیدگی، انعطاف پذیری، تعمیم پذیری و مفید بودن مدل‌ها در شرایط مزرعه‌ای را مورد بررسی قرار داده‌اند. مدل‌های یک بعدی جريان آب و انتقال املاح (۱۴ و ۲۷) برای بسیاری از شرایط کاربرد مفیدی دارد. اگر چه مدل‌های یک بعدی نسبت به مدل‌های دو بعدی، به تخصص برنامه نویسی، داده‌های ورودی، حافظه رایانه‌ای، و زمان محاسبه کمتری نیاز دارد، اما معمولاً نتایج آنها برای توصیف دقیق ویژگی‌های هندسی و بنابراین حرکت آب و املاح در حین آبیاری با روش‌های جویچه‌ای، قطره‌ای و لوله‌های تراوا کافی نیست و بررسی جريان و انتقال آب و املاح مستلزم به کارگیری مدل‌های چند بعدی می‌باشد. در حال حاضر مدل‌های دو بعدی (۲۸) و سه بعدی (۲۴) زیادی وجود دارد که معادلات جريان را به روش‌های اجزای محدود، تفاضل محدود یا سایر روش‌های عددی حل می‌کند. مدل‌های چند بعدی برای مطالعه تأثیر تغییرات مکانی خاک بر

جدول ۱. برخی ویژگی‌های فیزیکی و شیمیایی خاک مزرعه مورد مطالعه

pH	هدایت الکتریکی (dS/m)	جرم مخصوص ظاهری (g/cm ³)	رس (%)	سیلت (%)	شن (%)	بافت خاک	افق خاک	عمق (cm)
۷/۶۵	۰/۹۳	۱/۴۹	۱۶/۰۰	۹/۳۴	۷۴/۶۶	لوم شنی	Ap	۰-۲۳
۷/۹۶	۰/۷۷	۱/۵۶	۱۵/۰۰	۸/۲۷	۷۶/۷۳	لوم شنی	Btkn1	۳۳-۵۸
۷/۷۵	۰/۶۳	۱/۵۰	۱۵/۷۲	۱۱/۹۴	۷۲/۳۴	لوم شنی	Btkn2	۵۸-۷۱
۷/۸۵	۷۰/۰	۱/۴۱	۱۶/۱۷	۱۲/۶۷	۷۱/۱۶	لوم شنی	Btkn3	۷۱-۱۲۵

پایان مراحل اول و دوم، آب باقیمانده در جویچه‌ها تخلیه و اندازه‌گیری شد. در ادامه این مقاله همه جا منظور از غلظت املاح، غلظت بروماید می‌باشد.

سری دوم آزمایش‌ها شامل کاربرد مقادیر مشابه آب و املاح سایه (Same Water and Solute) بود. مقدار آب مصرفي در این آزمایش‌ها مشابه مقدار آب نفوذ یافته در عمق آبیاری ۶ cm در آزمایش‌های SD بود. آزمایش‌ها با عمق آب آبیاری ۶ سانتی‌متر اجرا شدند. آبیاری اول مشابه با سناریوی SD در دو فاز آب خالص و آب همراه با بروماید کلسیم انجام شد با این تفاوت که مدت آبیاری برای هر عمق بر اساس آزمایش قبلی با ۱۴ cm آب نفوذ یافته تنظیم گردید. در همه آزمایش‌ها، از غلظت یکسان بروماید (۱۰ گرم بر لیتر) استفاده گردید.

مجموعه‌ای پنج تایی از لوله‌های نوترون متر به طول ۳/۳ متر برای اندازه‌گیری رطوبت خاک در فواصل مختلف از محور جویچه اصلی کار گذاشته شد. لوله‌های نوترون متر در دو ردیف با فاصله ۵۰ سانتی‌متر به منظور جلوگیری از تأثیر متقابل قرائت‌ها نصب گردید. نوترون متر مورد استفاده در شرایط مزرعه واسنجی شده و برای اندازه‌گیری رطوبت خاک مورد استفاده قرار گرفت. قرائت‌ها در عمق ۲۰، ۴۰، ۶۰، ۸۰، ۱۰۰، ۱۲۰، ۱۴۰، ۱۶۰، ۱۸۰، ۲۰۰، ۲۲۰، ۲۴۰ سانتی‌متری قبل از هر آبیاری (شرایط اولیه)، بلا فاصله بعد از هر آبیاری، و هر یک ساعت تا ۶ ساعت پس از شروع آزمایش و سپس هر ۳ ساعت تا ۲۴ ساعت بعد از هر آبیاری صورت گرفت. سپس ۳ تا ۴ قرائت در هر روز تا روز سوم و ۱ تا ۲ قرائت در هر روز تا آبیاری بعدی انجام شد.

گرفت. مدل CDE در شرایط جریان نسبتاً یکنواخت صادق است اما مدل MIM برای شرایط غیر یکنواخت و جریان ترجیحی در خاک مورد استفاده قرار می‌گیرد.

مواد و روش‌ها

۱. آزمایش‌های مزرعه‌ای

پنج آزمایش مزرعه‌ای در جویچه‌های انتهای بسته در مرکز تحقیقات کشاورزی ماریکوپا در منطقه فینیکس ایالت آریزونا بر روی خاک لوم شنی فاقد پوشش گیاهی انجام شد. آزمایش‌ها در کرت‌هایی با سه جویچه به طول ۳ متر، عمق تقریبی ۲۰ سانتی‌متر و فاصله یک متر انجام گردید. جویچه وسط هر کرت، غیر چرخ رو بوده است که از آن داده برداری شده و با جویچه‌های چرخ رو در طرفین آن احاطه شده است. جزئیات آزمایش‌ها را در مقاله عباسی و همکاران (۱) می‌توان یافت.

مشخصات عمومی خاک مزرعه آزمایشی در جدول ۱ ارائه گردیده است.

در این تحقیق، دو سری آزمایش انجام گردید. در سری اول، سه آزمایش با عمق ۶، ۱۰ و ۱۴ سانتی‌متر و مدت زمان کاربرد یکسان آب و املاح یا SD (Same Duration) اجرا گردید. آبیاری اول به مدت ۹۰ دقیقه و در دو مرحله صورت گرفت. در مرحله اول، آبیاری در مدت ۶۰ دقیقه (برای هر سه عمق) به منظور خیس کردن نیمرخ خاک صورت گرفت. در مرحله دوم، آب با بروماید کلسیم (CaBr₂) مخلوط و به مدت ۳۰ دقیقه به‌طور یکسان در هر سه آزمایش به کار رفت. در

$$\theta(h) = \theta_r + \frac{\theta_s - \theta_r}{(1 + |\alpha h|^n)^m} \quad [1]$$

$$K(h) = K_s S_e^l (1 - (S_e^m)^m) \quad [2]$$

$$S_e = \frac{\theta - \theta_r}{\theta_s - \theta_r} \quad m = 1 - \frac{1}{n} \quad , \quad n > 1 \quad [3]$$

که در آن، θ_r رطوبت باقی مانده ($L^3 L^{-3}$)؛ θ_s رطوبت اشباع ($L^3 L^{-3}$)؛ S_e اشباع نسبی؛ و α ، d و m پارامترهای تجربی هستند. d و n پارامترهای بی بعد و α دارای بعد L^{-1} است. مقادیر r و s از Rosetta برآورد گردیده و به عنوان مقادیر ثابت برای تخمین α و n از داده‌های اندازه‌گیری شده در RETC مورد استفاده قرار گرفت. به دلیل دشواری‌های اندازه‌گیری مستقیم هدایت هیدرولیکی، K_s از داده‌های مزرعه‌ای رطوبت خاک و نفوذ تجمعی با استفاده از حل معکوس پارامترها به کمک HYDRUS-2D برآورد گردید.

ب) انتقال املاح

مدل فیزیکی غیر تعادلی جابه‌جایی - انتشار که به عنوان مدل روان-ساکن (MIM) یا مدل دو ناحیه‌ای نیز شناخته می‌شود، برای انتقال املاح واکنش ناپذیر در محیط متخلخل توسط وان گنوختن و واگنلت (۳۲) و کلوتیر و همکاران (۸) به صورت زیر ارائه شده است:

$$\frac{\partial(\theta_m C_m)}{\partial t} + \theta_{im} \frac{\partial C_{im}}{\partial t} = \frac{\partial}{\partial x_i} (\theta_m D_{ij} \frac{\partial C_m}{\partial x_j}) - \frac{\partial(q_i C_m)}{\partial x_i} \quad [4]$$

$$\theta_{im} \frac{\partial C_{im}}{\partial t} = \omega(C_m - C_{im}) \quad [5]$$

که در آن: θ_m ، رطوبت ناحیه روان ($L^3 L^{-3}$)، θ_{im} ، رطوبت ناحیه ساکن ($L^3 L^{-3}$)، C_m ، غلظت املاح موجود در ناحیه روان (ML^{-3})، C_{im} ، غلظت املاح موجود در ناحیه ساکن (ML^{-3}) و ω ، ضریب تبادل مرتبه اول (T^{-1})، q_i ، شدت جریان (LT^{-1}) و D_{ij} ، تانسور ضریب انتشار ($L^2 T^{-1}$) است که از رابطه زیر به دست می‌آید:

$$\theta_m D_{ij} = D_T |q_i \delta_{ij}| + (D_L - D_T) \frac{q_i q_j}{|q|} + \theta_m D_0 \tau_0 \delta_{ij} \quad [6]$$

به دلیل خطای نوترون متر، رطوبت لایه سطحی خاک (cm) با استفاده از TDR و در زمان‌های مشابه نوترون متر اندازه‌گیری شد.

نمونه برداری خاک برای اندازه‌گیری غلظت بروماید در عمق‌ها و مکان‌های مشابه با نوترون متر و در ۴ نوبت، قبل از آغاز آزمایش (مقادیر اولیه)، ۵ روز بعد از آبیاری اول و ۶ و ۲۰ روز بعد از آبیاری دوم صورت گرفت. نمونه‌های خاک در هوا خشک گردید و سپس از الک ۲ میلیمتری عبور داده شد. مقدار بروماید در عصاره ۱:۱ خاک و با استفاده از روش رنگ سنجی استاندارد توسط دستگاه یون سنج Quikchem Lachat اندازه‌گیری شد. علاوه بر آن، ۳۸ نمونه خاک دست نخورد (استوانه به طول ۶ و قطر $5/4$ سانتی‌متر) به طور تصادفی از عمق‌ها و مکان‌های متفاوت (تا ۱۰۰ سانتی‌متر) جمع آوری و برای تعیین منحنی رطوبتی در آزمایشگاه مورد استفاده قرار گرفت.

به منظور برآورد حجم آب مورد نیاز برای پر کردن مقطع جویچه و هم‌چنین محاسبه پارامترهای مورد نیاز در مدل HYDRUS-2D، سطح مقطع جویچه‌ها قبل از هر آبیاری در دو نقطه تعیین گردید. برای آنکه در حین آزمایش، آبیاری تنها منبع تأمین آب باشد، کرت‌های آزمایشی هنگام بارندگی با صفحات پلاستیکی پوشانده شد. تبخیر و تعرق مرجع با استفاده از داده‌های نزدیک‌ترین ایستگاه هواشناسی (در فاصله ۱۵۰ متری مزرعه) و روش پمن-مانتیس برآورد گردید. آزمایش‌های SWS و SDS به ترتیب در ۳۰ ژانویه و ۲۶ فوریه ۲۰۰۱ آغاز و بعد از ۳۰ روز به اتمام رسید.

۲. مدل

الف) جریان آب

برای بررسی جریان آب در محیط متخلخل از معادله دو بعدی ریچاردز استفاده شده است. منحنی رطوبتی خاک ($\theta(h)$) با معادله وان گنوختن (۳۱) و هدایت هیدرولیکی غیر اشباع خاک ($K(h)$) با مدل کاپیلاری معلم (۲۱) مطابق روابط زیر به دست آمده است.

سه حدس اولیه صورت گرفت.

مقادیر K_s و پارامترهای انتقال املاح به طور هم زمان برآورد گردید تا تأثیر متقابل جریان آب و پارامترهای انتقال املاح نیز در نظر گرفته شود (۳۰). بر اساس آنالیز حساسیت انجام شده (۲) یکی از حساس ترین ویژگی های هیدرولیکی خاک در مزرعه مورد مطالعه بود که در بهینه سازی مورد استفاده قرار گرفته است. در این روش، همه داده های موجود به طور هم زمان به کار می رود و لذا نتایج آن دارای خطای برآورد کمتری نسبت به تخمین ویژگی های هیدرولیکی و انتقال املاح در دو گام زمانی متوالی می باشد (۲۰ و ۲۹). نسخه موجود در HYDRUS-2D قادر است به طور هم زمان ۱۵ پارامتر مختلف از ویژگی های هیدرولیکی خاک، جذب آب توسط ریشه و یا پارامترهای انتقال املاح را برآورد نماید. با این حال، تخمین پارامترهای کمتر توصیه می شود. تعداد پارامترهایی که هم زمان می توانند بهینه شوند به کمیت و کیفیت داده های اندازه گیری شده بستگی دارد.

نتایج و بحث

پارامترهای معادله وان گنوختن شامل θ_1 , θ_s و n از مقادیر اندازه گیری شده رطوبت (h) با استفاده از برنامه کامپیوتری RETC (۳۳) برآورد گردید. پارامترهای بهینه شده، مجموع مرتع باقی مانده ها (SSQ) و هم بستگی میان مقادیر برآورد و مشاهده شده در جدول ۲ آمده است. مقدار بهینه θ_1 کمی بیشتر از رطوبت اندازه گیری شده در سطح خاک (۰-۲۰ cm) در انتهای آزمایش ها (cm^3/cm^3) بوده است. به همین دلیل، مقدار θ_1 با استفاده از مدل Rosetta نیز محاسبه گردید (۲۶). مدل RETC حاوی مقادیر برازش یافته بر داده های اندازه گیری شده است در حالی که در مدل Rosetta ویژگی های هیدرولیکی از مشخصات زود یافت خاک برآورد گردیده و منحنی رطوبتی بر اساس آن ویژگی ها به دست می آید. مقادیر θ_1 و θ_s از مدل Rosetta برآورد گردیده و به عنوان مقادیر ثابت برای تخمین α و n از داده های

که در آن: D_0 ضریب پخشیدگی مولکولی در آب آزاد ($L^2 T^{-1}$), τ_0 عامل خمیدگی خلل و فرج خاک (بدون بعد); δ_{ij} تابع دلتای کرونکر؛ D_L ضریب انتشار پذیری طولی (L)؛ و D_T ضریب انتشار پذیری عرضی (L) است. با فرض فقدان ناحیه ساکن (0) روابط ۴ و ۵ به صورت معادله استاندارد CDE ساده می شود:

$$\frac{\partial(\theta C)}{\partial t} = \frac{\partial}{\partial x_i} \left(\theta D_{ij} \frac{\partial C}{\partial x_j} \right) - \frac{\partial(q_i C)}{\partial x_i} \quad [7]$$

ج) شرایط اولیه و مرزی

غلظت بروماید و رطوبت اندازه گیری شده خاک قبل از آزمایش، به عنوان شرایط اولیه در نظر گرفته شد. عمق جریان در حین آبیاری جویچه ها و شرط مرزی اتمسفری بعد از آبیاری (حین توزیع مجدد رطوبت) به عنوان شرط مرزی بالادست در نظر گرفته شد. از متوسط شدت تبخیر و تعرق مرجع و برآورد شده به روش پنمن مانتیس به عنوان شرط مرزی اتمسفری استفاده گردید. شرط کوچی (Cauchy) برای مرز بالایی انتقال املاح، زهکشی آزاد برای حرکت آب و املاح در مرز پایینی، و شرط مرزی بدون شدت جریان در طرفین جویچه ها در نظر گرفته شد.

۳. بهینه سازی معکوس

حل معکوس بر پایه حل عددی معادله ریچاردز و مدل های MIM یا CDE (معادله ۴ و ۷) با استفاده از روش بهینه سازی لونبرگ - مارکوارت (۱۹) صورت گرفته است. رطوبت اندازه گیری شده خاک، داده های نفوذ و غلظت بروماید برای تخمین هم زمان K_s و پارامترهای معادلات CDE و MIM ($D_L, D_T, \omega, \theta_{im}$) در حل معکوس به کار گرفته شد. سایر پارامترها (به ویژه پارامترهای هیدرولیکی مدل وان گنوختن) طی بهینه سازی ثابت در نظر گرفته شده که مقدار آنها در جدول ۲ آورده شده است. به منظور افزایش احتمال دست یابی به مقدار کمینه تابع هدف، هر شبیه سازی معکوس حداقل با

جدول ۲. ویژگی‌های هیدرولیکی مدل وان گنوختن به دست آمده از مدل RETC و Rosetta

R^2	SSQ ^a	n	α (cm ⁻¹)	θ_r (cm ³ cm ⁻³)	θ_f (cm ³ cm ⁻³)	روش
۰/۹۲	۰/۲۷۳	۱/۴۷۸	۰/۰۷۵۸	۰/۴۴۳	۰/۱۰	RETC
-	-	۱/۵۰۳	۰/۰۵۴۵	۰/۴۰۷	۰/۰۶۵	Rosetta
۰/۹۱	۰/۳	۱/۳۷	۰/۰۶۸۹	۰/۴۰۷ ^b	۰/۰۶۵ ^b	RETC+Rosetta

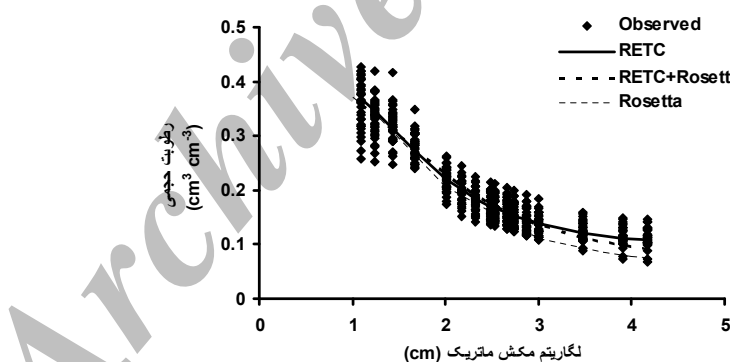
a : مجموع مریع باقی مانده‌ها b : برآورد شده با Rosetta و به کار رفته به عنوان مقدار ثابت در بهینه سازی RETC

جدول ۳. خلاصه مقادیر بهینه K_s و پارامترهای مدل CDE و MIM در آزمایش‌های مختلف.

مقادیر بهینه شده پارامترهای مدل CDE در پرانتز آمده است.

R^2	SSQ	D_T (cm)	D_L (cm)	ω (day ⁻¹)	θ_s (cm ³ cm ⁻³)	K_s (cm min ⁻¹)	آزمایش
۰/۹۹(۰/۹۹)	۱/۶۹(۱/۶۹)	۰/۰۷(۰/۰۳)	۳۲/۸(۱۸/۳)	۱۹/۵۲	۰/۰۲۹	۰/۰۳۹۴(۰/۰۳۸۹)	کرت ۱ (۶ cm) SD ^a
۰/۹۹(۰/۹۹)	۳/۴۸(۴/۲۲)	۰/۸۱(۰/۴۰)	۱۶/۸(۱۷/۰)	۰/۱۰	۰/۰۱۰	۰/۰۳۹۶(۰/۰۳۹۲)	کرت ۲ (۱۰ cm)
۰/۹۸(۰/۹۸)	۹/۴۰(۶/۳۲)	۰/۰۵(۰/۰۴)	۱۳/۵(۱۲/۵)	۴/۱۱	۰/۰۵۷	۰/۰۴۹۷(۰/۰۴۹۷)	کرت ۳ (۱۴ cm)
۰/۹۹(۰/۹۹)	۸/۷۳(۸/۹۳)	۰/۰۴(۰/۰۷)	۷/۹(۸/۳)	۷/۸۷	۰/۰۱۰	۰/۰۴۵۶(۰/۰۴۳۶)	کرت ۴ (۶ cm) SWS ^b
۰/۹۹(۰/۹۹)	۳/۲۳(۳/۵۰)	۲/۱۰(۲/۲۰)	۳/۷(۲/۶)	۱۱/۲۰	۰/۰۲۰	۰/۰۹۵۷(۰/۰۹۹۶)	کرت ۵ (۱۰ cm)
-	-	۱۴۵(۱۷۰)	۷۴/۷(۵۵/۱)	۸۶/۴	۷۶/۸	۴۳/۹(۴۷/۵)	CV (%)

a : آزمایش‌های با زمان آبیاری مشابه (SD) b : آزمایش‌های با کاربرد مقادیر مشابه آب و املاح (SWS)



شکل ۱. مقادیر مشاهده و برآذش شده منحنی رطوبتی با مدل RETC، RETC+Rosetta و Rosetta

پاریش (۷) مطابقت داشت. در نتیجه ترکیبی از مدل‌های RETC و Rosetta برای نهایی کردن پارامترهای هیدرولیکی استفاده شد (شکل ۱).

مقادیر نهایی بهینه شده K_s و پارامترهای انتقال معادله‌های MIM و CDE برای آزمایش‌های مختلف در جدول ۳ خلاصه شده است. نکته قابل توجه آن است که پارامترهای بهینه شده و

اندازه‌گیری شده در RETC مورد استفاده قرار گرفت (روش سوم در جدول ۲).

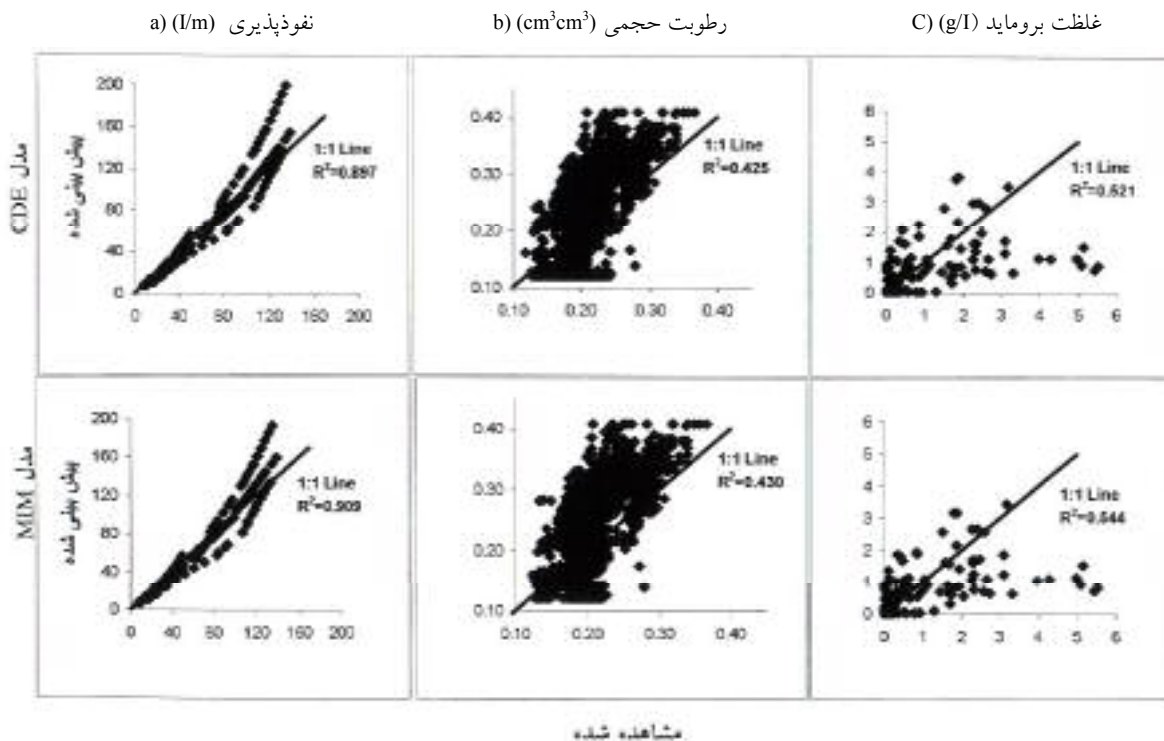
مقادیر θ_r ، θ_f و α برآورد شده توسط Rosetta کمتر از مقادیر تخمینی RETC بود، در حالی که هر دو مدل مقدار تقریباً مشابهی برای n برآورد نمودند. تخمین θ_r و θ_f توسط Rosetta به خوبی با مقادیر گزارش شده توسط کارسل و

که مدل دو ناحیه‌ای و یا پارامترهای MIM را مورد بررسی قرار داده‌اند (۱۶ و ۱۸) معمولاً شامل مدل‌های یک بعدی بوده و غالباً در شرایط جريان ماندگار یا نزديک به آن صورت گرفته است. برای تأييد نتایج اين تحقیق، بررسی جريان دو بعدی در شرایط غيرماندگار مورد نياز بود که در بررسی منابع یافت نشد. مقادير بهينه D_L بين ۲/۶ تا ۳۲/۸ سانتي متر و D_T بين ۰/۵۳ تا ۲/۲۰ سانتي متر بوده است (جدول ۳). مقادير D_L قدری بيشر از مقادير به دست آمده در شرایط آزمایشگاهی (۰/۵-۲ cm) و آزمایش‌های یک بعدی در شرایط ماندگار (۵-۲۰ cm) بوده است اما با مقادير گزارش شده توسط بومن و رايis (۵) و جينس و همكاران (۱۵) با رژيم آبياري غرقابي منقطع و پيوسته در آزمایش‌های مزرعه‌اي در همين منطقه مشابه بود. مقادير D_L برآورده شده با مدل CDE يك بعدی توسط جينس و همكاران (۱۵) برابر ۲۲/۸-۲۲/۸ سانتي متر بوده است. مقادير برآورده شده D_L و D_T با مقادير گزارش شده توسط فورر و همكاران (۹) نيز قابل مقاييسه مي باشد. آنها مقادير ۱۱/۷۳-۰/۶۶ cm را برای D_L و مقادير ۰/۵۹-۶/۵۹ cm را برای D_T گزارش نموده‌اند. به نظر مى رسد مقادير نسبتاً بزرگ D_L و D_T در پرخچ كرتهای به علت رفتار ذاتاً دو بعدی فرایند انتقال املاح و جريان جانبی موجود در جویچه‌ها بوده است (۱). تغييرات مكانی رطوبت خاک و رطوبت كمتر در برخی موارد، باعث تفاوت برآوردها شده است. مقدار نسبتاً زياد D_T در كرت ۵ ممکن است به دليل افزایش حرکت جانبی آب و املاح در جویچه‌ها باشد. مقادير غلظت مشاهده شده توسط عباسی و همكاران (۱) توزيع جانبی قابل توجه املاح به ويره در كرت‌های SWS را تأييد مى کند. علاوه بر اين، D_T نسبت به ساير پارامترهای بهينه شده، داراي ضريب تغييرات (CV) بيشتری مي باشد (جدول ۳). تحليل حساسيت در مطالعات انجام شده نشان مى دهد که مدل‌های عددی به تغييرات D_T (۹) نسبت به D_L (۳۴ و ۹) حساسيت بيشتری دارند. ضريب همبستگي ميان D_L و D_T حدود ۰/۲۵ بوده است. به طور کلى، دامنه تغييرات نسبتاً وسیع مقادير بهينه شده D_T در دامنه اطمینان

مجموع مربع باقیماندها (SSQ) در مدل‌های MIM و CDE در كرت‌های مختلف (به جز پارامتر D_L در كرت ۱) خيلي به هم نزديک هستند که نشانگر اثر اندک آب ساكن در داده‌های اين تحقيق بوده است.

برآورده K و بيش برای همه آزمایش‌ها (به جز كرت ۵ که تقریباً دو برابر سایر آزمایش‌هاست) يکسان بود. این نتایج با مشاهدات مزرعه‌اي مطابقت داشته است. در حين آبياري دوم، حجم آب نفوذ یافته در مدت زمان تقریباً يکسان، در كرت‌های ۳ و ۵ (با عمق آب ۱۴ و ۱۰ سانتي متر) مشابه بوده است. اما بر خلاف انتظار، زمان کاربرد کوتاه‌تری برای كرت ۵ که عمق آب كمتری داشت مشاهده گردید. برآورده K به عدد گزارش شده (۲۵) توسط کارسل و پاریش (۷) و اسخاپ و همكاران (۱۵) در خاک‌های لوم شنی نزديک بوده است. نتایج بهينه سازی، همبستگي کمي بين K و ساير پارامترها را نشان داد. ضraigib همبستگي در كرت‌های مختلف، اغلب كمتر از ۰/۰۵ بوده است.

على رغم نتایج مطالعات اخیر (۱۳ و ۳۴) و پیشنهاد اينکه وجود آب ساكن نقش مهمی در مدل سازی انتقال املاح در مقیاس مزرعه‌اي دارد، در این تحقيق مقادير نسبتاً کمي برای θ_{im} برآورده شد (جدول ۳) که مى توان نتيجه گرفت آب ساكن نقش مهمی در اين مطالعه نداشته و پخشیدگي و انتشار، فرایندهای اصلی انتقال بوده‌اند. اين نتيجه ممکن است به علت درشت بافت بودن خاک به دست آمده باشد. مقادير θ_{im} برای كرت‌های مختلف بين ۰/۰۱۰ تا ۰/۰۵۷ متفاوت است. مقادير ضريب تبادل مرتبه اول (۶) بسيار متفاوت (درصد $CV = ۸۶/۴$) و يك تا دو برابر مقادير گزارش شده مطالعات قبلی در شرایط آزمایشگاه (۱۲ و ۱۸) و مزرعه (۱۳ و ۱۶) بوده است (جدول ۳). مقدار زياد پارامتر (۶) نشانگر تبادل سريع املاح بين دو ناحيه روان و ثابت مي باشد. مى توان نتيجه گرفت که حتى با وجود مقدار کم آب ساكن، جابه‌جايی املاح بين دو ناحيه چنان به سرعت انجام شده که تفاوت فرایندهای انتقال بين مدل‌های CDE و MIM غير قابل تشخيص گشته است. ساير مطالعاتي

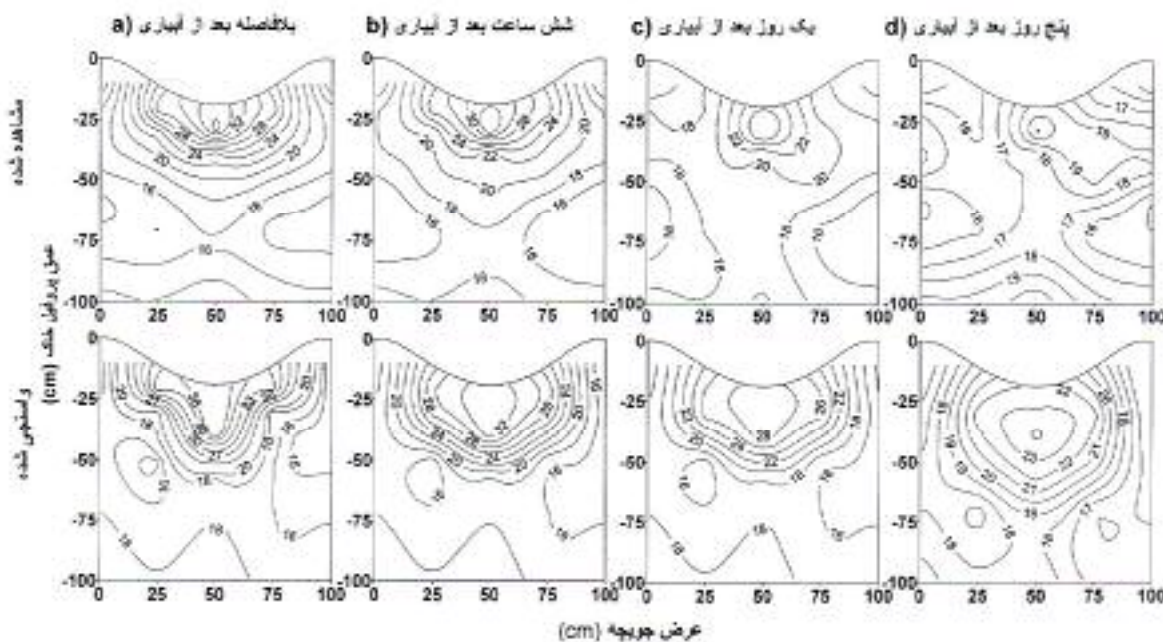


شکل ۲. مقادیر مشاهده و برآورد شده نفوذ تجمعی، رطوبت خاک، و غلظت بروماید در همه کرت‌های آزمایشی با استفاده از مدل‌های انتقال CDE و MIM

انتشار پذیری در محیط‌های متخلخل مشابه در مقیاس مزرعه‌ای نسبت به مقیاس آزمایشگاهی آن چند برابر بیشتر است (۱۱) و متناسب با بزرگ شدن مقیاس افزایش می‌یابد (۱۰ و ۱۱). مقادیر مشاهده شده ضریب انتشار پذیری طولی در ۵۹ خاک و آبخوان مختلف، بین 10^{-2} تا 10^4 متر برای مقیاس‌های 10^{-1} تا 10^5 متر بوده است (۱۱).

مقادیر اندازه‌گیری شده نفوذ تجمعی، رطوبت خاک و غلظت بروماید در ۵ کرت آزمایشی با مقادیر برآورد شده آنها توسط پارامترهای بهینه شده، در شکل ۲ آمده است. داده‌های اندازه‌گیری شده نفوذ پذیری به طور قابل قبولی ($R^2 = 0.95$) با مقادیر برآورد شده مطابقت داشت. اما تطابق میان رطوبت و غلظت‌های اندازه‌گیری شده با برآورد آنها کمتر بود. در اغلب موارد، مقادیر رطوبت، بیشتر و مقادیر غلظت، کمتر از حد واقعی برآورد گردید. بیش برآورد رطوبت ممکن است به دلیل تعیین بیش از حد واقعی رطوبت اشباع در آزمایشگاه باشد.

آماری ۹۵٪ نشان می‌دهد که آزمایش‌های این تحقیق، داده‌های کافی برای تخمین قابل اعتماد این پارامتر فراهم ننمی‌کند. با توجه به توصیف کرت‌ها که در بخش مواد و روش‌ها ارائه گردیده، به نظر می‌رسد بین مقادیر تخمینی D_L (ستون ششم جدول ۳) و عمق آب داخل جویچه‌ها و زمان کاربرد آب و املاح (ستون اول و دوم جدول ۳) رابطه‌ای وجود دارد. در مجموع، مقادیر D_L به دست آمده در کرت‌های SDS (با رطوبت کمتر) بیشتر از کرت‌های SWS (با رطوبت بیشتر) بوده است. این نتیجه با تحلیل نظری صورت گرفته توسط روسو (۲۲ و ۲۳) که افزایش ضریب انتشار پذیری را در رطوبت‌های کم و تغییرات مکانی زیاد آن نشان می‌دهد، مطابقت دارد. همچنین، D_L به عمق آب داخل جویچه‌ها و زمان کاربرد آب و املاح وابستگی نشان داد. هر چند، تفکیک اثر عمق آب یا زمان کاربرد و تغییرات خصوصیات خاک بر D_L چندان ساده نیست. مطالعات نظری و آزمایشگاهی نشان داده است که ضریب



شکل ۲. مقادیر رطوبت و اسنجی و مشاهده شده در کرت ۱ در زمان‌های مختلف پس از آبیاری اول. نتایج آبیاری دوم (ارائه نشده) کم و بیش با آبیاری اول مشابه بوده است.

تطابق میان غلظت اندازه‌گیری شده املاح و برآورد آن در نزدیکی سطح خاک ضعیف و برآورد مدل کمتر از مقدار واقعی آن بوده است. اما نتایج در لایه‌های پایین بسیار بهتر بود (شکل ۴). علی‌رغم برآورد کمتر غلظت حداقل، مدل به خوبی توانست در زمان‌های مختلف محل پیشروی جبهه املاح را تخمین بزند.

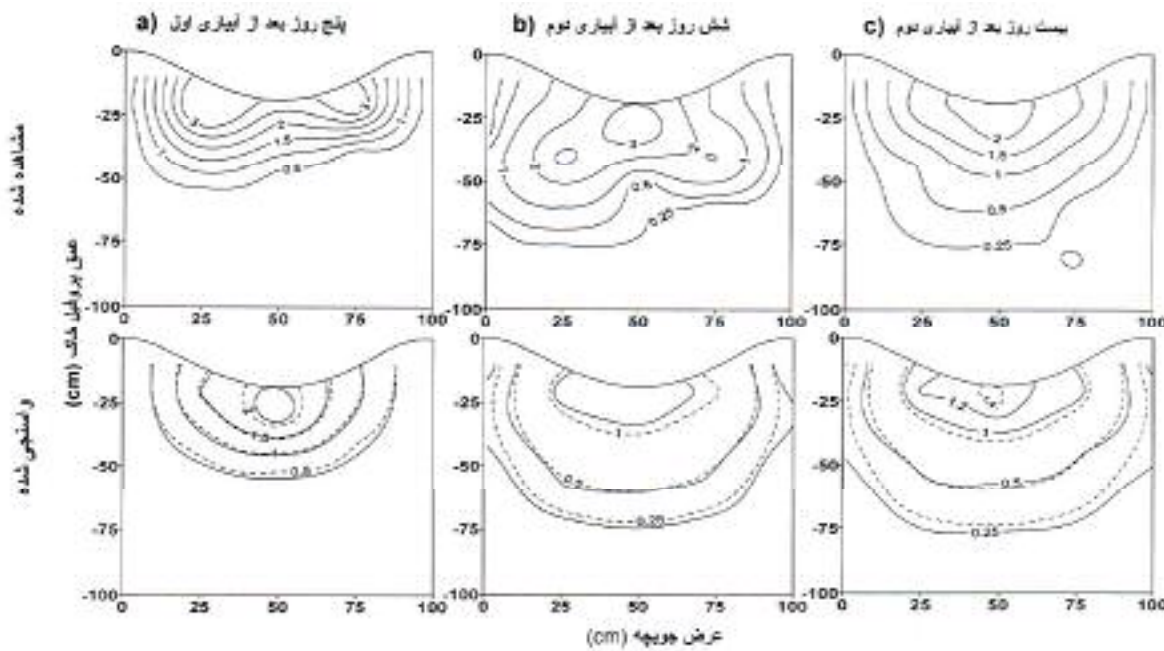
با وجود اختلاف زیاد میان مقادیر بهینه شده پارامترها با مدل‌های MIM و CDE در کرت ۱ (جدول ۳) تفاوت محسوسی میان برآوردهای آنها (شکل ۴) دیده نشد. این نتیجه مجدداً حساسیت کم مدل‌های انتقال املاح به ضریب انتشار پذیری طولی در شرایط مزرعه را نشان می‌دهد که با یافته‌های ونترلا و همکاران (۳۴) در جریان یک بعدی و فورر و همکاران (۹) در جریان دو بعدی مطابقت دارد.

جمع بندی

در این پژوهش، مدل HYDRUS-2D همراه با الگوریتم بهینه‌سازی لونبرگ-مارکوارت برای تخمین معکوس هدایت

وجود θ_S و سایر پارامترهای هیدرولیکی در بهینه سازی می‌تواند منجر به بهبود نتایج مدل گردد. مدل‌های انتقال CDE و MIM در اغلب موارد از نظر تطابق مقادیر واقعی با برآورد مشابه بود (شکل ۲ و ۴). باید توجه داشت که R^2 ارائه شده در شکل ۲، ضریب همبستگی بین مقادیر اندازه‌گیری شده و برآوردها را برای همه داده‌های بهینه سازی (هر ۵ کرت) نشان می‌دهد در حالی که R^2 ارائه شده در جدول ۳ مربوط به نوع خاصی از داده‌ها (نفوذ، رطوبت و غلظت) در یک بهینه سازی واحد می‌باشد.

برخی مقایسه‌ها بین مقادیر اندازه‌گیری شده رطوبت خاک و غلظت املاح و برآورد آنها برای کرت ۱ در شکل‌های ۳ و ۴ ارایه گردیده است. کرت ۱ به علت تفاوت نسبتاً زیاد بین پارامترهای بهینه شده مدل‌های CDE و MIM در آن (جدول ۳) برای مقایسه انتخاب شده است. مطابقت نسبتاً خوبی میان مقادیر واسنجی و مشاهده شده رطوبت در فاز توزیع مجدد (شکل ۳b و ۳c) دیده می‌شود اما رطوبت در فاز نفوذپذیری (شکل ۳a) و همچنین در شرایط خشکتر (شکل ۳d) بیشتر از حد واقعی برآورد شده است.



شکل ۴. غلظت‌های واسنجی و مشاهده شده املاح در کرت ۱ در زمان‌های مختلف نمونه برداری خاک
(خط نقطه چین: مدل CDE، خط پیوسته: مدل MIM).

آزمایشگاهی بوده است اما با مقادیر مزرعه‌ای مشابه داشت. ضریب انتشارپذیری طولی به عمق آب در جویچه‌ها و زمان کاربرد آب و املاح وابستگی داشت، اما تأثیر عمق آب بر ضریب انتشارپذیری عرضی، رطوبت ساکن و ضریب تبادل جرمی مرتبه اول قابل توجه نبوده است. تطابق میان برآورد داده‌های نفوذپذیری و مقادیر اندازه‌گیری شده آن به طور کلی رضایت بخش بود. سازگاری میان مقادیر برآورد و اندازه‌گیری شده رطوبت خاک و غلظت املاح نسبتاً ضعیف تر بود. برآورد هم‌زمان پارامترهای انتقال و خصوصیات هیدرولیکی خاک دارای این مزیت است که بهینه سازی در یک مرحله قابل انجام است. تحقیق حاضر با فرض همگنی نیمرخ خاک انجام شده است. در نظر گرفتن لایه بندی خاک و به کار بردن روش Scaling برای توصیف تغییرات مکانی خصوصیات هیدرولیکی و انتقال در خاک و به دنبال آن، برآورد پارامترهای هیدرولیکی و سپس پارامترهای انتقال املاح در دو گام زمانی مختلف ممکن است سبب بهبود برآوردها گردد.

هیدرولیکی اشباع و پارامترهای انتقال مدل‌های MIM و CDE از آزمایش‌های انتقال املاح و جریان آب در مقیاس مزرعه‌ای و در شرایط غیر ماندگار استفاده شده است. پارامترهای بهینه شده، بخصوص هدایت هیدرولیکی اشباع و ضرایب انتشارپذیری، با مقادیر گزارش شده مطالعات قبلی در مقیاس مزرعه‌ای تطابق خوبی داشته است. نتایج نشان داد که آب ساکن (θ_{im}) احتمالاً به علت بافت نسبتاً درشت خاک مورد مطالعه نقش مهمی را ایفا نمی‌کند. مقدار θ_{im} در آزمایش‌های مختلف کم و بیش یکسان و دارای حد متوسط $0.25 \text{ cm}^3 \text{ cm}^{-3}$ بوده است. ضریب تبادل مرتبه اول بیش تر از مقادیر گزارش شده در مطالعات آزمایشگاهی و مزرعه‌ای بود. این نتیجه، تبادل سریع املاح را با همه آب ساکن موجود در پروفیل خاک نشان می‌دهد و بنابراین اثر آب ساکن در این تحقیق نسبتاً ناچیز بوده است. این نتیجه‌گیری با تفاوت‌های اندک در برآورد غلظت املاح توسط مدل‌های انتقال MIM و CDE نیز تأیید شده است. مقادیر برآورد ضریب انتشارپذیری طولی بیشتر از مقادیر

منابع مورد استفاده

1. Abbasi, F., F. J. Adamsen, D. J. Hunsaker, J. Feyen, P. Shouse and M. Th. Van Genuchten. 2003. Effects of water depth on water flow and solute transport in furrow irrigation: Field data analysis. *J. Irrig. Drain. Eng.* 129(4): 237-246.
2. Abbasi, F., D. Jacques, J. Simunek, J. Feyen and M. Th. van Genuchten. 2003. Inverse estimation of the soil hydraulic and solute transport parameters from transient field experiments: heterogeneous soil. *Trans. ASAE* 46(4): 1097-1111.
3. Addiscott, T. M. and R. J. Wagenet. 1985. Concepts of solute leaching in soils: A review of modeling approaches. *Soil Sci.* 36: 411-424.
4. Biggar, J. W. and D. R. Nielsen. 1976. Spatial variability of the leaching characteristics of a field soil. *Water Resour. Res.* 12: 78-94.
5. Bowman, R. S. and R. C. Rice. 1986. Transport of conservative tracers in the field under intermittent flood irrigation. *Water Resour. Res.* 22: 1531-1536.
6. Bresler, E., G. Dagan, R. J. Wagenet and A. Laufer. 1984. Statistical analysis of salinity and texture effects on spatial variability of soil hydraulic conductivity. *Soil Sci. Soc. Am. J.* 48: 16-25.
7. Carsel, R. F. and R. S. Parrish. 1988. Developing joint probability distributions of soil water retention characteristics. *Water Resour. Res.* 24: 755-769.
8. Clothier, B. E., I. Vogeler, S. R. Green and D. R. Scotter. 1998. Transport in unsaturated soil: aggregates, macropores, and exchange. PP. 273-295, *In: H. M. Selim and L. Ma (Eds.), Physical Nonequilibrium in Soils. Modeling and Application*, Ann Arbor Press, Chelsea, MI.
9. Forrer, I., R. Kasteel, M. Flury and H. Fluhler. 1999. Longitudinal and lateral dispersion in an unsaturated field soil. *Water Resour. Res.* 35: 3049-3060.
10. Fried, J. J., 1975. *Groundwater Pollution*. Elsevier Pub., New York.
11. Gelhar, L. W., C. Welty and K. R. Rehfeldt. 1992. A critical review of data on field-scale dispersion in aquifers. *Water Resour. Res.* 28(7): 1955-1974.
12. Jacobsen, O. H., F. J. Leij and M. Th. van Genuchten. 1992. Parameter determination for chloride and tritium transport in undisturbed lysimeters during steady flow. *Nordic. Hydrol.* 23: 89-104.
13. Jacques, D. 2000. Analysis of water flow and solute transport at the field scale. Ph.D dissertation, No. 454, K.U. Leuven, Fac. Landbouwkundige en Toegepaste Biologische Wetenschappen, Leuven, Belgium.
14. Jarvis, N. J., P. E. Jonsson, P. E. Dik and I. Messing 1991. Modeling water and solute transport in macroporous soil. I. Model description and sensitivity analysis. *Soil Sci.* 42: 59-70.
15. Jaynes, D. B., R. S. Bowman and R. C. Rice. 1988. Transport of conservative tracers in the field under continuous flood irrigation. *Soil Sci. Soc. Am. J.* 52: 618-624.
16. Jaynes, D. B., S. D. Logsdon and R. Horton. 1995. Field method for measuring mobile/immobile water content and solute transfer rate coefficient. *Soil Sci. Soc. Am. J.* 59: 352-356.
17. Kodesova, R., S. E. Ordway, M. M. Gribb and J. Šimůnek. 1999. Estimating of soil hydraulic properties with cone permeameter: Field studies. *Soil Sci.* 163(6): 436-453.
18. Mallants, D., M. Vanclooster and J. Feyen 1996. Transect study on solute transport in a macroporous soil. *Hydrol. Processes* 10: 55-70.
19. Marquardt, D. W. 1963. An algorithm for least squares estimation of non-linear parameters. *J. Ind. Appl. Math.* 11: 431-441.
20. Mishra, S. and J. C. Parker. 1989. Parameter estimation for coupled unsaturated flow and transport. *Water Resour. Res.* 25(3): 385-396.
21. Mualem, Y. 1976. A new model for predicting the hydraulic conductivity of unsaturated porous media. *Water Resour. Res.* 12(3): 513-522.
22. Russo, D. 1993. Stochastic modeling of macrodispersion for solute transport in a heterogeneous unsaturated porous formation. *Water Resour. Res.* 29: 383-397.
23. Russo, D. 1998. Stochastic analysis of flow and transport in unsaturated heterogeneous porous formations: Effects of variability in water saturation. *Water Resour. Res.* 34: 569-581.
24. Russo, D., J. Zaidel and A. Laufer. 1998. Numerical analysis of flow and transport in a three-dimensional partially saturated heterogeneous soil. *Water Resour. Res.* 34 (6): 1451-1468.
25. Schaap, M. G., F. J. Leij and M. Th. Van Genuchten. 1998. Neural network analysis for hierarchical prediction of soil hydraulic properties. *Soil Sci. Soc. Am. J.* 62: 847-855.
26. Schaap, M. G., F. J. Leij and M. Th. van Genuchten 2001. ROSETTA: A computer program for estimating soil hydraulic parameters with hierarchical pedotransfer functions. *J. Hydrol.* 251: 163-176.

27. Šimůnek, J., M. Sejna and M. Th. van Genuchten. 1998. The HYDRUS-1D software package for simulating the one-dimensional movement of water, heat, and multiple solutes in variably saturated media, Version 2.0, IGWMC-TPS-70, Int. Ground Water Modeling Center, Colorado School of Mines, Golden, Co.
28. Šimůnek, J., M. Sejna and M. Th. van Genuchten 1999. The HYDRUS-2D software package for simulating the two-dimensional movement of water, heat, and multiple solutes in variably saturated media, Version 2.0, IGWMC-TPS-70, Int. Ground Water Modeling Center, Colorado School of Mines, Golden, Co.
29. Šimůnek, J., D. Jacques, J. W. Hopmans, M. Inoue, M. Flury and M. Th. van Genuchten. 2002. Solute transport during variably-saturated flow-inverse methods. In: J.H. Dane and G. C. Topp (Eds.), Methods of Soil Analysis, Part 1, Physical Methods, Chapter 6.6, Third edition, SSSA, Madison, WI.
30. Sun, N. Z. and W. W. G. Yeh. 1990. Coupled inverse problems in groundwater modeling. 1. Sensitivity analysis and parameter identification. *Water. Resour. Res.* 26(10): 2507-2525.
31. Van Genuchten, M. Th. 1980. A closed-form equation for predicting the hydraulic conductivity of unsaturated soils. *Soil Sci. Soc. Am. J.* 44: 892-898.
32. Van Genuchten, M. Th. and R. J. Wagenet. 1989. Two-site/two-region models for pesticide transport and degradation: Theoretical development and analytical solutions. *Soil Sci. Soc. Am. J.* 53(5): 1303-1310.
33. Van Genuchten, M. Th., F. J. Leij and S. R. Yates. 1991. The RETC code for quantifying the hydraulic functions of unsaturated soils. Report No. EPA/600/2-91/065. R. S. Kerr Environmental Research Laboratory, U. S. Environmental Protection Agency, Ada, OK. 85 p.
34. Ventrella, D., B. P. Mohanty, J. Šimůnek, N. Losavio and M. Th. van Genuchten 2000. Water and chloride transport in a fine-textured soil: Field experiments and modeling. *Soil Sci.* 165(8): 624-631.
35. Wang, D., S. R. Yates, J. Šimůnek and M. Th. van Genuchten. 1997. Solute transport in simulated conductivity fields under different irrigations. *J. Irrig. Drain. Eng.* 123(5): 336-343.